

Комбинационное рассеяние света поликристаллами Hg_2F_2

© Ю.Ф. Марков, Е.М. Рогинский

Физико-технический институт им. А.Ф. Иоффе Российской академии наук,
Санкт-Петербург, Россия

E-mail: Yu.Markov@mail.ioffe.ru

(Поступила в Редакцию 17 апреля 2008 г.)

Впервые получены экспериментальные спектры комбинационного рассеяния света поликристаллов Hg_2F_2 .

С использованием рентгеноструктурного анализа и теоретико-группового рассмотрения выполнена интерпретация спектров Hg_2F_2 . Полученные результаты обсуждены в сравнении со спектрами кристаллов Hg_2Hal_2 .

Работа поддержана программами РФФИ (грант № 05-08-33431), Президиума РАН (П-03) и ОФН РАН, а также субсидией молодым ученым, кандидатам наук вузов и академических институтов, расположенных на территории Санкт-Петербурга (грант № 112-мкн).

PACS: 64.70.kt, 78.30.-j

1. Введение

Кристаллы галогенидов одновалентной ртути Hg_2Hal_2 ($\text{Hal} = \text{Cl}, \text{Br}, \text{I}$) изоморфны при комнатной температуре и образуют объемно центрированную тетрагональную решетку D_{4h}^{17} с двумя линейными молекулами $\text{Hal}-\text{Hg}-\text{Hg}-\text{Hal}$ (вдоль оптической оси $C_4(Z)$) в элементарной ячейке (рис. 1) [1,2]. Цепочечное строение этих кристаллов приводит к очень сильной анизотропии упругих и оптических свойств. Например, кристаллы Hg_2I_2 имеют рекордно низкую среди твердых тел скорость поперечного (ТА) звука $V_{[110]}^{[110]} = 254 \text{ m/s}$, рекордно высокие двулучепреломление $\Delta n = +1.5$ и акусто-оптическое взаимодействие ($M_2 = 4284 \cdot 10^{-18} \text{ CGS units}$ для ТА-волны) [3]. Эти кристаллы используются в технике как основные элементы акустооптических фильтров, акустических линий задержки, поляризаторов, модуляторов, дефлекторов и др.

При охлаждении при $T_c = 186 \text{ K}$ в кристаллах Hg_2Cl_2 и $T_c = 144 \text{ K}$ в Hg_2Br_2 происходят несобственные сегнетоэластические фазовые переходы из тетрагональной фазы в ромбическую ($D_{4h}^{17} \rightarrow D_{2h}^{17}$), индуцированные конденсацией наиболее медленной, мягкой ТА-ветви в X -точках границы зоны Бриллюэна (ЗБ) тетрагональной парафазы. Переходы сопровождаются при $T \leq T_c$ удвоением элементарной ячейки, $X \rightarrow \Gamma$, „перебросом“ в ЗБ, возникновением спонтанной деформации и сегнетоэластических доменов [4,5]. Фазовый переход в кристаллах Hg_2I_2 удалось реализовать лишь при высоком гидростатическом давлении ($P_c = 9 \text{ kbar}$ при $T = 293 \text{ K}$) [6].

Галогениды одновалентной ртути, обладающие очень простой кристаллической структурой и ярко выраженным эфектами фазовых переходов, являются модельными объектами при изучении общих проблем структурных фазовых переходов.

Выше в ряду соединений Hg_2Hal_2 ($\text{Hal} = \text{Cl}, \text{Br}, \text{I}$) нами не приведен фторид одновалентной ртути Hg_2F_2 , который, как предполагалось ранее [7] и в более поздней работе [8], при комнатной температуре изоморфен упомянутым галогенидам ртути и имеет близкие значения параметров элементарной ячейки и межатомных

расстояний к кристаллам других соединений Hg_2Hal_2 (табл. 1). В течение длительного времени при изучении кристаллов галогенидов одновалентной ртути мы в своих исследованиях неоднократно обращались к химическому синтезу и (или) покупке коммерческой шихты этого практически неизученного соединения Hg_2F_2 , но все наши попытки были тщетны — ни рентгеновские, ни прецизионные оптические исследования не давали однозначного и объяснимого результата в рамках известных знаний об этом соединении.

Несмотря на достаточно убедительные рентгеноструктурные работы [7,8], основные свойства Hg_2F_2 (структура, симметрия, оптические свойства и др.) до настоящего времени представляют какую-то „загадку“. Например, структура и симметрия Hg_2F_2 (по материалам некоторых статей и справочников) до настоящего времени является спорной — от кубической, тетрагональной до моноклинной (см., например, [9]). Возможно, что такая неоднозначность связана со сложной фазовой диаграммой и сложным синтезом этого соединения (Hg_2F_2), когда в нем могут присутствовать HgF_2 (фторид двухвалентной ртути), HF , HgO и другие примеси. Очевидно, что под воздействием света или температуры по аналогии с поведением хлорида, бромида одновалентной ртути может иметь место декомпозиция Hg_2F_2 с образованием $\text{HgF}_2 + \text{Hg}$. Чистота коммерческой шихты не превышает 95–98%, но самое удивительное, что это соединение, полученное из различных источников, неред-

Таблица 1. Постоянные решетки и межатомные расстояния в кристаллах Hg_2Hal_2 [1,8]

Соединение	Постоянные решетки, Å		Межатомные расстояния, Å		
	<i>a</i>	<i>c</i>	Hg–Hg	Hg–Hal	Hal–Hal
Hg_2F_2	3.66	10.90	2.43	2.31	3.85
Hg_2Cl_2	4.47	10.89	2.52	2.51	3.33
Hg_2Br_2	4.64	11.10	2.57	2.56	3.42
Hg_2I_2	4.92	11.61	2.69	2.68	3.56

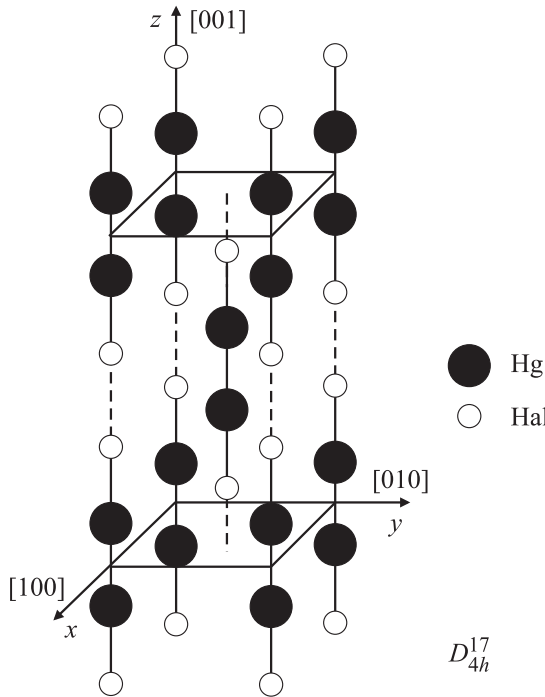


Рис. 1. Элементарная ячейка кристаллов галогенидов одновалентной ртути Hg_2Hal_2 .

ко демонстрирует различные физические (оптические, спектроскопические, рентгеноструктурные и др.) и химические свойства. При изучении этого соединения по аналогии с другими галогенидами одновалентной ртути (см., например, [4–6]) нельзя забывать и о возможности структурного фазового перехода в нем, индуцированного как температурой, так и давлением.

2. Методика эксперимента

Спектры комбинационного рассеяния регистрировались при помощи тройного Раман-спектрометра Dilor-Z24 с использованием аргонового ($\lambda = 5145 \text{ \AA}$) и гелий-неонового ($\lambda = 6328 \text{ \AA}$) лазеров, мощности которых варьировались от нескольких мВт до десятков. Рентгеноструктурные измерения выполнялись на двухкружных дифрактометрах, использовалось K_{α} -излучение медного анода. В обоих случаях в качестве образцов применялся мелкокристаллический порошок Hg_2F_2 с размерами зерен от нескольких микрон до десятков.

3. Экспериментальные результаты и их обсуждение

На рис. 2 вверху можно видеть спектр комбинационного рассеяния (СКР) поликристаллических образцов Hg_2F_2 , полученный при комнатной температуре.

Ниже для сравнения приведены поляризованные СКР ($T = 300 \text{ K}$) других изоморфных кристаллов Hg_2Hal_2 , а именно СКР хлорида, бромида и иодида одновалентной ртути (рис. 2). Из поляризационных измерений спектров, теоретико-группового анализа и правил отбора для колебательных спектров, динамических расчетов и т.д., выполненных ранее (см., например, [10,11]), следует однозначная интерпретация СКР кристаллов Hg_2Cl_2 , Hg_2Br_2 и Hg_2I_2 . В спек-

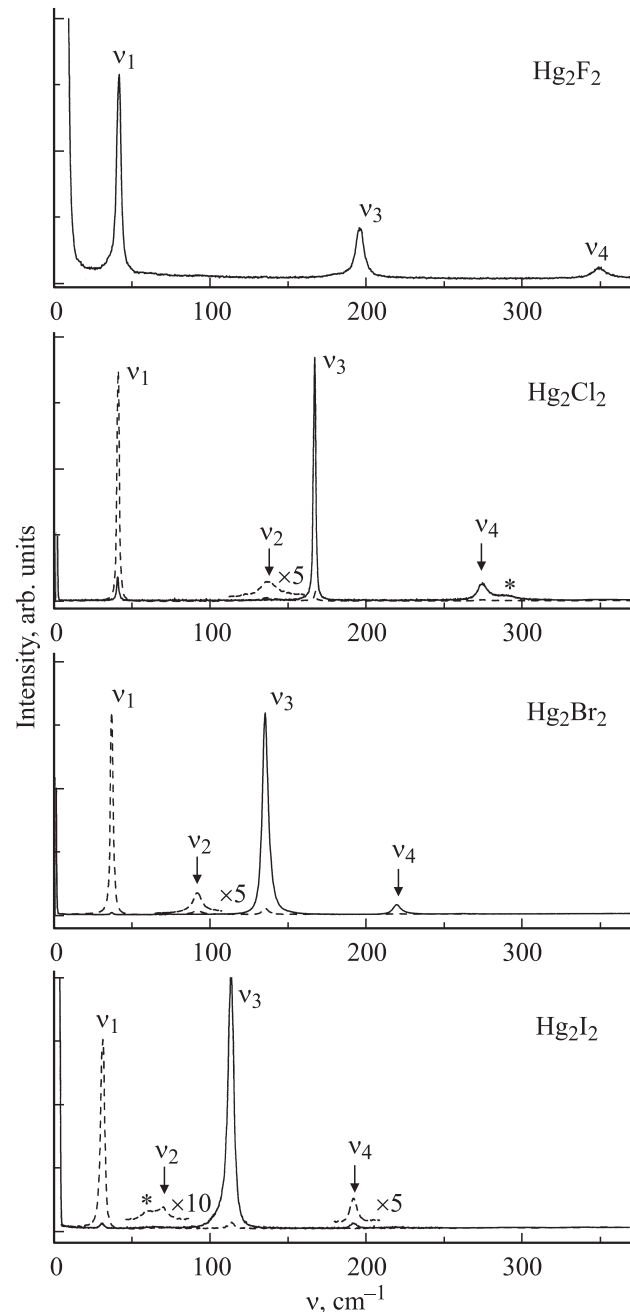


Рис. 2. Спектры комбинационного рассеяния поликристаллов Hg_2F_2 и монокристаллов Hg_2Cl_2 , Hg_2Br_2 и Hg_2I_2 в различных поляризациях XZ (YZ) (штриховые линии) и ZZ (сплошные линии). Звездочкой обозначены слабые линии спектра II-го порядка.

трах наблюдается по две линии ν_1, ν_2 в поляризации $XZ(YZ)$ (E_g -симметрия) и ν_3, ν_4 в поляризации ZZ (A_{1g} -симметрия), что полностью согласуется с результатами теоретико-группового рассмотрения, согласно которому в СКР первого порядка этих кристаллов, имеющих при комнатной температуре тетрагональную решетку D_{4h}^{17} и одну формульную единицу (четырехатомную линейную молекулу $\text{Hal}-\text{Hg}-\text{Hg}-\text{Hal}$) в примитивной ячейке, разрешены четыре колебания: два дважды вырожденные симметрии E_g (XZ, YZ) и два полносимметричные A_{1g} ($XX + YY, ZZ$); (в скобках указаны компоненты тензора поляризуемости, активные в СКР). На рис. 3 приведены собственные векторы этих колебаний. Следует заметить, что первое колебание симметрии E_g — это либрация, качание линейной молекулы как целого относительно горизонтальной оси X (или Y), обозначенное ν_1 . Второе колебание симметрии E_g — деформационное „зигзагообразное“ (ν_2). Полносимметричные валентные колебания A_{1g} соответствуют главным образом смещениям атомов $\text{Hg}-\text{Hg}$ (ν_3) и $\text{Hal}-\text{Hg}$ (ν_4) (рис. 3). В ИК-спектрах разрешены нечетные колебания симметрии $E_u(\nu_5)$ и $A_{2u}(\nu_6)$, отвечающие смещениям подрешетки галогенов относительно подрешетки атомов ртути в базисной плоскости и вдоль оси Z соответственно (рис. 3).

В случае поликристаллов Hg_2F_2 , использованных в настоящей работе, как показали наши предварительные рентгеноструктурные исследования, при комнатной температуре сохраняется тетрагональная решетка, аналогичная другим галогенидам одновалентной ртути. Следовательно правила отбора для колебательных спектров

Таблица 2. Частоты нормальных колебаний и полуширина линий спектра (см. в скобках)

Соединение	Частоты колебаний, cm^{-1}			
	$\nu_1(E_g)$	$\nu_2(E_g)$	$\nu_3(A_{1g})$	$\nu_4(A_{1g})$
Hg_2F_2	41(4)		196(6)	350(9)
Hg_2Cl_2	40(2)	137(12)	167(2)	275(9)
Hg_2Br_2	35(2)	91(8)	135(4)	221(8)
Hg_2I_2	30(3)	74(10)	113(4)	192(5)

кристаллов Hg_2F_2 должны быть такими же, как и в случае исходных кристаллов Hg_2Hal_2 , т.е. в спектре должны наблюдаться четыре линии в соответствующих поляризациях. Естественно, поляризационные исследования поликристаллического Hg_2F_2 не проводились, так как такие измерения порошкообразных образцов не несут строгой информации. В экспериментальных спектрах Hg_2F_2 были надежно обнаружены лишь три линии, а именно $\nu_1 = 41(4) \text{ cm}^{-1}$ — либрация симметрии E_g , $\nu_3 = 196(6) \text{ cm}^{-1}$ — валентное колебание A_{1g} , соответствующее главным образом смещениям $\text{Hg}-\text{Hg}$, и $\nu_4 = 350(9) \text{ cm}^{-1}$ — валентное колебание A_{1g} , соответствующее смещениям $\text{F}-\text{Hg}$. Заметим, что в скобках приведены полуширины линий спектра. Дважды вырожденное деформационное колебание ν_2 симметрии E_g , имеющее в спектрах изоморфных аналогов Hg_2Cl_2 , Hg_2Br_2 и Hg_2I_2 наименьшие интенсивности, уверенно наблюдать не удалось.

Выполненные предварительные динамические расчеты частот и интенсивностей колебаний в Hg_2F_2 показали, что интенсивность этого колебания ν_2 должна быть на несколько порядков меньше, чем интенсивность остальных линий спектра. Этот удивительный результат, связанный, по-видимому, с аномально маленькими зарядом и радиусом ионов фтора, приводящий к очень малому изменению поляризуемости при этих колебаниях, и объясняет эту аномалию. Однако при дальнейшем тщательном поиске новых линий в спектре в интервале частот между сильными линиями ν_1 и ν_3 , где и должна находиться линия ν_2 , была обнаружена очень и очень слабая по интенсивности линия с частотой 117 cm^{-1} и значительной полушириной.

На рис. 2 видна удовлетворительная корреляция всех линий спектра (кроме ν_2) в случае упомянутых выше четырех соединений. Имеется хорошее соответствие как частот, так и интенсивностей, но полуширины линий в спектре Hg_2F_2 несколько больше, чем в случае других изоморфных соединений, что можно объяснить значительным неоднородным уширением, связанным с большей дефектностью порошкообразных образцов по сравнению с монокристаллами. Основные характеристики линий спектра всех четырех соединений приведены в табл. 2. Из рис. 2,3 и табл. 2 видно, что самая низкочастотная линия, соответствующая либрационному колебанию ν_1 — качанию линейной молекулы как

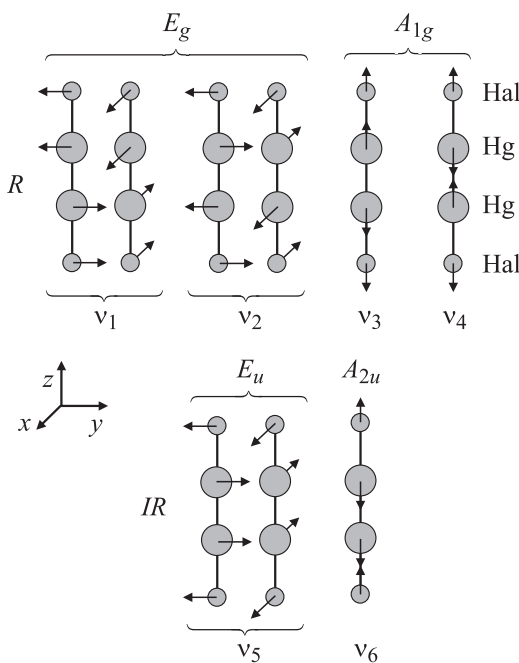


Рис. 3. Собственные векторы (нормальные колебания) в кристаллах Hg_2Hal_2 в предположении одной молекулы (формульной единицы) в примитивной ячейке. R — колебания, активные в комбинационном рассеянии света. IR — колебания, активные в инфракрасных спектрах.

целого имеет минимальную полуширину и большую интенсивность. Частоты этих колебаний возрастают в ряду соединений Hg_2I_2 , Hg_2Br_2 , Hg_2Cl_2 , Hg_2F_2 и равны 30, 35, 40, 41 cm^{-1} соответственно. Рост частот и должен был иметь место в связи с уменьшением момента инерции молекулы $Hg_2\text{Hal}_2$, вызванным понижением массы галогена в этой последовательности соединений. Нельзя не учитывать и изменение в ряду этих соединений параметров базисной плоскости, в том числе расстояний между молекулами (табл. 1), приводящее к изменению силовых констант, особенно в базисной плоскости, и межмолекулярного взаимодействия. Следует заметить также, что либрация, которую в некотором приближении можно рассматривать как заторможенный ротатор,— это межмолекулярное (решетчатое) колебание, которое обычно имеет большую интенсивность, связанную с большой амплитудой колебаний, приводящей к сильному изменению поляризуемости.

Колебание $\nu_2(E_g)$ — деформационное „зигзагообразное“ (рис. 3) — имеет во всем ряду изоморфных соединений $Hg_2\text{Hal}_2$ минимальную интенсивность и максимальную полуширину, связанную с большим ангармонизмом этих колебаний (табл. 2). Возможно, что на аномальное уменьшение интенсивности этого колебания в Hg_2F_2 влияет (кроме вышесказанного) также очень малая величина постоянной решетки, в базисе равная $a = 3.66 \text{ \AA}$ (табл. 1), блокирующая амплитуду этих колебаний.

Валентное колебание $\nu_3(A_{1g}) = 196 \text{ cm}^{-1}$, соответствующее главным образом смещениям $\text{Hg}-\text{Hg}$ (отметим, что в это колебание вносят также небольшой вклад смещения $\text{Hal}-\text{Hg}$), во всех галогенидах одновалентной ртути является характеристичным по интенсивности, но не по частоте, так как в ряду Hg_2I_2 , Hg_2Br_2 , Hg_2Cl_2 , Hg_2F_2 заметно уменьшаются расстояния $\text{Hg}-\text{Hg}$ (табл. 1) и соответственно увеличиваются силовые постоянные, приводящие к увеличению частоты колебаний ν_3 . Заметим также, что энергия связи $\text{Hg}-\text{Hg}$, например в соединениях Hg_2F_2 , равна 10 kcal/mol, а в Hg_2Cl_2 — лишь 8 kcal/mol, что подтверждает наши предыдущие рассуждения.

Частоты валентных колебаний $\text{Hal}-\text{Hg}$ — $\nu_4(A_{1g})$ очень сильно увеличиваются от соединения к соединению в этом ряду, что главным образом связано с уменьшением приведенной массы $\mu = m_{\text{Hal}}m_{\text{Hg}}/(m_{\text{Hal}} + m_{\text{Hg}})$ при „движении“ от тяжелого иода (Hg_2I_2) к легкому фтору (Hg_2F_2), и аномально высокая частота 350 cm^{-1} в Hg_2F_2 вполне объяснима в этом подходе. Малые интенсивности и большие полуширины линий ν_4 , объясняемые значительным ангармонизмом этих колебаний во всех соединениях $Hg_2\text{Hal}_2$, вполне коррелируют друг с другом.

Обратимся к работе [9], в которой изучались Раман-спектры соединения (Hg_2F_2). При выполнении этой работы в течение длительного времени и при достаточно высокой температуре (что могло вызвать термодекомпозицию) выращивались в отпаянной ампуле

микрокристаллы из исходной шихты Hg_2F_2 . В результате в ампуле выросли два типа (по цвету и по симметрии) кристаллов, причем, как считает автор, одни — Hg_2F_2 , а другие — идентифицировать не удалось. Возможно, последние являются продуктами распада Hg_2F_2 . Кроме этого, спектры и рентгенограммы Hg_2F_2 , которые получил автор, не соответствуют тетрагональной симметрии D_{4h}^{17} этих кристаллов и естественно не имеют никакого отношения к кристаллам истинного фторида одновалентной ртути Hg_2F_2 . Привлечение же автором работы [9] к объяснению полученного им сложного спектра комбинационного рассеяния структурного фазового перехода, аналогичного переходам в других галогенидах одновалентной ртути $Hg_2\text{Hal}_2$ ($\text{Hal} = \text{Cl}, \text{Br}, \text{I}$) (см., например, [4,5]), совершенно не обоснованно, так как не имеет никакого экспериментального подтверждения.

Итак, в представленной работе впервые получены, обсуждены в сравнении со спектрами изоморфных аналогов $Hg_2\text{Hal}_2$ и на основе рентгеноструктурного и теоретико-группового анализа интерпретированы спектры комбинационного рассеяния света поликристаллов Hg_2F_2 . Из выполненных нами исследований следует также вывод, что изученное соединение при комнатной температуре имеет тетрагональную структуру (симметрию D_{4h}^{17}), хотя в экспериментальных дифрактограммах по сравнению с теоретическими просматриваются очень небольшие отклонения, что, возможно, связано с недостаточной чистотой исходной шихты и большой дефектностью использованных нами в работе образцов (порошков).

В заключение авторы выражают благодарность А.А. Каплянскому за обсуждение полученных результатов.

Список литературы

- [1] R.J. Havighurst. J. Am. Chem. Soc. **48**, 2113 (1926).
- [2] H. Mark, J. Steinbach. Z. Krystallogr. **64**, 79 (1926).
- [3] Proc. II Int. Symp. on univalent mercury halides. Trutnov, ČSSR (1989). P. 1-265.
- [4] Ч. Барта, А.А. Каплянский, В.В. Кулаков, Б.З. Малкин, Ю.Ф. Марков. ЖЭТФ **70**, 4, 1429 (1976).
- [5] А.А. Каплянский, Ю.Ф. Марков, Ч. Барта. Изв. АН СССР. Сер. Физ. **43**, 8, 1641 (1979).
- [6] Ч. Барта, А.А. Каплянский, Ю.Ф. Марков, В.Ю. Мировицкий. ФТТ **27**, 8, 2500 (1985).
- [7] F. Ebert, H. Woitinek. Z. Anorg. Chem. **210**, 269 (1933).
- [8] D. Grednic, C. Djordjevic. J. Chem. Soc. **6**, 1316 (1956).
- [9] S. Emura. J. Phys.: Cond. Matter **2**, 7877 (1990).
- [10] Ч. Барта, А.А. Каплянский, Ю.Ф. Марков. ФТТ **15**, 2835 (1973).
- [11] Ч. Барта, А.А. Каплянский, В.В. Кулаков, Ю.Ф. Марков. Опт. и спектр. **37**, 95 (1974).